

Lignin degradation from synthetic wastewater of pulp and paper industries by using of UV/Fe-Doped TiO₂ photocatalytic process

Zabiholah Yousefi¹,
Reza-Ali Mohmadpour²,
Ebrahim Zarei³,
Mansour Barafrahestehpour⁴

¹ PhD, Department of Environmental Health Engineering, School of Health and Health Sciences Research Center, Mazandaran University of Medical Sciences, Sari, Iran

² PhD, Professor, Department of Statistics, School of Health, Mazandaran University of Medical Sciences, Sari, Iran

³ Lecturer, Department of Analytical Chemistry, University of Mazandaran, Sari, Iran

⁴ MSc, Department of Environmental Health Engineering, Student Research Committee, School of Health, Mazandaran University of Medical Sciences, Sari, Iran

(Received June 30, 2013; Accepted December 29, 2013)

Abstract

Background and purpose: One of the biggest environmental problems of pulp and paper industries is discharge of colored wastewater containing lignin to environment. The aim of this study was to evaluate the TiO₂ photocatalytic process Dap with iron in the presence of UV for lignin degradation.

Materials and methods: This cross-sectional study was conducted at laboratory scale (in vitro) in a 2-liter reactor. The synthesis of nano was made by sol-gel method. Lignin absorption was done using UV/Vis spectrophotometry at 280 nm. The samples were estimated based on factorial method (72 samples). The SPSS software version 16.0 and Excel 2007 and regression test were used for statistical analysis.

Results: The highest removal rate in the presence of UV was 95.4%, and in the presence of sunlight was 87.4%. The removal rate of lignin increased when the concentration increased from 0.15 to 0.3 g/l. In all of the pH, the removal rate increased with increasing in retention time from 15 to 120 minutes and remains slightly constant after 60 minutes. The optimum pH was obtained 7. The reaction rate increased when the concentration of nano increase and the pH decreased.

Conclusion: Based on the findings, the removal rate was considerably above in visible light and in the presence of sunlight, which represented the Dap role of nanoparticle; therefore, due to the low consumption, low power consumption and high efficiency, Doped nano can be used as an alternative for the removal of lignin from the pulp and paper industries.

Keywords: Lignin, degradation, photocatalytic, pulp and paper industries, TiO₂

J Mazand Univ Med Sci 2014; 23(Suppl 2): 96-106 (Persian).

تجزیه لیکنین از فاضلاب صنایع چوب و کاغذ با استفاده از UV/Fe-Doped TiO_2 فرایند فتوکاتالیستی

ذبیح‌اله یوسفی^۱

رضاعلی محمدپور^۲

ابراهیم زارعی^۳

منصور برافراشته‌پور^۴

چکیده

سابقه و هدف: یکی از بزرگ‌ترین مشکلات زیست محیطی صنایع چوب و کاغذ، تخلیه فاضلاب رنگی حاوی لیکنین به محیط زیست می‌باشد. هدف از این بررسی، تعیین کارایی فرایند فتوکاتالیستی TiO_2 داپ شده با آهن در حضور UV (Ultra violet) جهت تجزیه لیکنین بود.

مواد و روش‌ها: مطالعه حاضر از نوع مقطعی، در مقیاس آزمایشگاهی و در یک رآکتور ۲ لیتری انجام شد. نانوی موردنظر با روش سل-ژل (Sol-gel) سنتر شد. جذب لیکنین با استفاده از روش اسپکتروفوتومتری UV/Visible (UV/Vis) در طول موج ۲۸۰ نانومتر صورت گرفت. تعداد نمونه‌ها بر اساس روش فاکتوریل، ۷۲ نمونه برآورد شد. جهت ترسیم نمودارها و تجزیه و تحلیل آماری نتایج، نرم‌افزارهای Excel و SPSS نسخه ۱۶ و آزمون برازش رگرسیونی مورد استفاده قرار گرفت.

یافته‌ها: بیشترین درصد حذف در حضور UV حدود ۹۵/۴ درصد و در حضور نور خورشید ۸۷/۴ درصد بود. وقتی غلظت از ۰/۳۰ گرم در لیتر افزایش یافت، میزان دفع لیکنین نیز افزایش پیدا کرد. در همه pH‌ها با افزایش زمان ماند از ۱۵ به ۱۲۰ دقیقه میزان حذف تا حدودی ثابت ماند و pH بهینه ۷ به دست آمد. همچنین وقتی که غلظت نانو افزایش و pH کاهش یافت، سرعت واکنش افزایش پیدا کرد.

استنتاج: میزان حذف در ناحیه نور مرئی و در حضور نور خورشید به طور قابل توجهی بالا بود که نشان دهنده نقش مؤثر داپ کردن نانو می‌باشد. بنابراین با استفاده از نانوی داپ شده به علت مقدار کم نانوی مصرفی، انرژی مصرفی پایین و راندمان بسیار بالا می‌تواند به عنوان یک جایگزین مناسب برای حذف لیکنین مورد استفاده قرار گیرد.

واژه‌های کلیدی: لیکنین، تجزیه، فتوکاتالیست، داپ کردن، صنعت چوب و کاغذ، TiO_2

مقدمه

فاضلاب این صنایع می‌باشد (۵). رنگ فاضلاب صنایع چوب و کاغذ نیز اغلب ناشی از لیکنین و محصولات تجزیه آن می‌باشد (۶-۸). پساب‌های حاصل از صنعت کاغذ سبب اثرات حرارتی، تشکیل کف، مشکلات رنگ و کاهش زیبایی محیط می‌شود. همچنین مقدار مواد سمی را در آب افزایش می‌دهد و سبب مرگ زئوپلاتنگون‌ها و ماهی‌ها می‌شود (۹، ۱۰).

لیکنین یکی از سه جزء ضروری چوب و یک پلیمر سه بعدی نامنظم، حاوی ترکیبات اکسی فنیل پروپان است (۱-۳) که تصفیه فاضلاب کاغذ و خمیر کاغذ را با استفاده از فرایندهای متداول تصفیه فاضلاب مشکل می‌سازد (۴) و منبع اکسیژن مورد نیاز شیمیایی (Chemical oxygen demand) یا COD در

E-mail: bmansoor50@yahoo.com

مؤلف مسئول: منصور برافراشته‌پور - ساری: دانشگاه علوم پزشکی مازندران، دانشکده بهداشت.

۱. استاد، گروه مهندسی بهداشت محیط، مرکز تحقیقات علوم بهداشتی، دانشکده بهداشت، دانشگاه علوم پزشکی مازندران، ساری، ایران

۲. استاد، گروه آمار زیستی، دانشکده بهداشت، دانشگاه علوم پزشکی مازندران، ساری، ایران

۳. مریبی، گروه شیمی تجزیه، دانشکده شیمی، دانشگاه مازندران، ساری، ایران

۴. کارشناس ارشد، گروه مهندسی بهداشت محیط، کمیته تحقیقات دانشجویی، دانشکده بهداشت، دانشگاه علوم پزشکی مازندران، ساری، ایران

۵. تاریخ دریافت: ۱۳۹۲/۴/۹ تاریخ ارجاع جهت اصلاحات: ۱۳۹۲/۸/۱۲ تاریخ تصویب: ۱۳۹۲/۱۰/۸

افزایش فعالیت فتوکاتالیزی ذرات TiO₂ مانند افزایش نسبت سطح به حجم، اتصال TiO₂ به دیگر ذرات نیمه هادی، پاشیدن انواع TiO₂ به درون حفره های زئولیت و یون های فلز و نافلز داپ شده به TiO₂ توسعه پیدا کرده اند (۲۰).

یون های فلزی رسانا می توانند باعث تشکیل تراز انرژی داپ شده بین باندهای هدایت و ظرفیت TiO₂ شوند؛ این روش، یک روش مؤثر برای افزایش فعالیت فتوکاتالیزی TiO₂ می باشد. علاوه بر این، یون های داپ شده ممکن است به عنوان تله های الکترون یا حفره عمل کنند و فعالیت کاتالیزی TiO₂ را افزایش دهند (۲۱).

داپ (در فارسی به معنی دارو دادن و تخمیر دادن) نوعی فرایند اصلاح است که در آن به جای بعضی از اتم ها یا یون ها در شبکه بلور، اتم ها یا یون های دیگر قرار می گیرد. به منظور بهبود کارایی فتوکاتالیستی TiO₂ و گسترش نور جذبی ناحیه مؤثر آن به ناحیه نور مرئی و همچنین جلوگیری از ترکیب مجدد الکترون-حفره، می توان به اصلاحاتی مانند داپ کردن با یون های فلزی و غیر فلزی اشاره نمود (۲۲، ۲۳).

بررسی مطالعات نشان داده است که یون های فلزی انتقالی همچون Fe³⁺ برای افزایش فعالیت فتوکاتالیتیک می توانند مورد استفاده قرار گیرند (۲۴، ۲۵). یون فلزی Fe³⁺ به دلیل آرایش الکترونی نیمه پر و با شاعع یونی نزدیک به شاعع یونی Ti⁴⁺ می تواند به راحتی در میان شبکه TiO₂ جایگزین شود (۲۶) و موجب افزایش فعالیت فتوکاتالیست در ناحیه نور مرئی گردد. همچنین یون های Fe³⁺ می توانند در شبکه TiO₂ یک دام سطحی برای الکترون ها و حفرات به وجود آمده از تابش ایجاد نمایند و در نتیجه، با کاهش ترکیب مجدد الکترون ها و حفرات تولید شده، بازدهی کوانتایی و فعالیت فتوکاتالیستی را افزایش دهند. بنابراین، یون Fe³⁺ به عنوان یک عامل داپ کننده مؤثر و قابل توجه مطرح می باشد (۲۷، ۲۸).

Koichi و همکاران برای اولین بار استفاده از فرایندهای فتوکاتالیتیکی برای معدنی سازی کامل لیگنین را گزارش دادند (۲۹). Tanaka و همکاران تجزیه فتوکاتالیتیکی لیگنین را با استفاده از TiO₂ مورد مطالعه قرار دادند و دریافتند که لیگنین

فرایند تصفیه مورد استفاده در صنایع کاغذ، زلال سازی اولیه و به دنبال آن تصفیه ثانویه، اغلب از نوع بیولوژیکی است؛ اما پس از از تصفیه بیولوژیکی باز هم حاوی غلظت های محسوسی از COD، رنگ و سمیت است (۱۱)، که اگر این پس از تصفیه شده بدون تصفیه بیشتر به درون جریانات آبی یا توده های زمینی تخلیه شود، می تواند باعث آلودگی شدید محیطی شود (۱۲).

به طور کلی، فنون فیزیکی معمول نظری لخته کردن، هوادهی، جذب روی کربن فعال و اسمز معکوس ممکن است به طور مؤثری آلاینده ها را بر طرف نمایند. با این وجود، این روش ها باعث تخریب آلاینده ها نمی شوند و تنها موجب می گردد که آلاینده ها از آب به فاز دیگری انتقال یابند که این امر خود موجب تشکیل یک آلودگی محیطی ثانویه می شود. در نتیجه، این فنون نیازمند تولید مجدد مواد جاذب و تیمار بعدی فاضلاب ها هستند که در مجموع هزینه بیشتر می باشد. فتوکاتالیست یک فن آوری اکسایش پیشرفتنه دارای آینده روش است و هنوز هم به طور موفق به منظور پالایش آب ها از آلاینده ها در آمریکا، اروپا و ژاپن مورد استفاده قرار می گیرد (۱۳).

در سال های اخیر، فرایندهای اکسیداسیون پیشرفتنه (AOPs) برای برآورده کردن تصوفیه مؤثر فاضلاب توسعه یافته است (۱۴، ۱۵). فرایندهای اکسیداسیون پیشرفتنه، عامل اکسیداسیون قوی (رادیکال های هیدروکسیل) تولید می کنند که آلاینده های موجود در فاضلاب را به طور کامل تخریب می کنند (۱۵).

یکی از مهم ترین تکنولوژی های تصوفیه فاضلاب، فرایند فتوکاتالیز و نیمه رسانا است که به طور بالقوه برای تصوفیه آلاینده های فاضلاب سودمند و مفید است (۱۶، ۱۷). در میان مواد نیمه رسانای مختلف (اکسیدها، سولفیدها و ...) به TiO₂ به دلیل فعالیت فتوکاتالیتیکی بالا، پایداری شیمیایی مداوم به خوردگی نوری، مقبولیت اقتصادی، هزینه کم و نداشتن سمیت مورد توجه بیشتر قرار گرفته است (۱۸، ۱۹). هر چند کارایی استفاده از TiO₂ با شکاف به نسبت زیاد باند انرژی (۳/۲ eV) محدود شده است؛ اما روش های مختلفی برای

UV با فویل آلومینیومی پوشانده شد. اختلاط در راکتور با استفاده از همزن مغناطیسی و مگنت انجام می‌گرفت. در داخل راکتور، ۵/۵ سانتی متر ارتفاع آزاد جهت حرکت مگنت در نظر گرفته شده بود. نمونه برداری در زمان‌های مختلف انجام شد و روند حذف لیگنین در این راکتور مورد بررسی قرار گرفت. سایر متغیرهای مورد نظر در این مطالعه نظر غلظت لیگنین ورودی، میزان سطح ذرات نانو و اثرات این متغیرها بر روی راندمان حذف لیگنین توسط فرایند نانوفتوکاتالیستی ذرات TiO_2 و پرتوی فرابنفش مورد بررسی قرار گرفت. جهت حذف ذرات TiO_2 ، نمونه با سرعت ۴۰۰۰ دور در دقیقه به مدت ۳۰ دقیقه ساتریفیوژ شد.

ساختار واقعی لیگنین بسیار پیچیده است و مدل‌های موجود از لیگنین نه توالی ویژه‌ای از واحدهای منوری را بیان می‌کنند. نه شبکه واقعی منورها در ماکرومولکول لیگنین را نشان می‌دهند. مدل کوپل که در آن متولیگنول‌ها به صورت سربه سر با پلیمر در حال رشد تحت کنترل شیمیایی ساده واکنش می‌دهند، روابط تصادفی ایجاد می‌کنند و از این رو، ساختاری از لیگنین تشکیل می‌شود که به طور کامل مشخص یا تعریف نشده است. از طرفی دیگر، مدل رونوشت الگو در سال‌های اخیر پیشنهاد شد؛ اما هنوز از لحاظ تجربی ثابت نشده است و نشان می‌دهد که تشکیل پیوند در پلیمری شدن لیگنین تحت کنترل بیوشیمیایی است (۳۰).

لیگنین ساختار بسیار پیچیده‌ای دارد که از پیوند اکسایشی متولیگنول‌ها (منورهای لیگنین و پیش‌سازهای منوری) تشکیل شده است. منورهای اولیه لیگنین در واقع سه نوع الكل اولیه هیدروکسی سینامیل به نام‌های کوماریل الكل، کنیفریل الكل و سیناپیل الكل می‌باشند (تصویر شماره ۱). واحدهای فنیل پروپانوئید در پلیمر لیگنین (که به عنوان واحدهای ساختاری پلیمر لیگنین شناخته می‌شوند)، بر اساس نحوه قرار گیری گروه متوكسی بر روی حلقه‌های آروماتیک لیگنین (همان منورهای اولیه) به ترتیب واحدهای پی‌هیدروفنیل (H)، گوایاسیل (G) و سیرینجیل (S) نام دارند (۳۱، ۳۲).

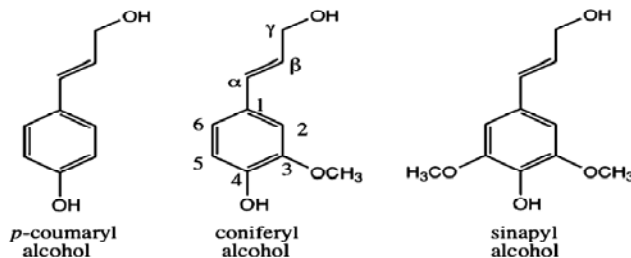
ساختار کلی منورهای لیگنین به صورت تصویر شماره ۲ می‌باشد.

سریع به وسیله TiO_2 جذب می‌شود و نور دادن در ادامه باعث جذب و تجزیه همزمان می‌شود (۲۸). در بررسی Kumar و همکاران روی اکسیداسیون پیشرفته پساب صنعت چوب و کاغذ اضافه کردن پراکسید هیدروژن به سیستم UV/TiO_2 (Ultra violet/ TiO_2) عملکرد فرایند نوری را افزایش داد. تصفیه ۴ ساعته با $COD = ۴۲/۹ UV/TiO_2/H_2O_2$ درصد $BOD = ۵۷/۹$ درصد (Biochemical oxygen demand) $BOD = ۸۹/۲$ درصد رنگ از بار آلی پساب زلال‌ساز اولیه را حذف کرد (۲۹). با توجه به سمیت لیگنین برای موجودات زنده و محیط زیست و هزینه‌های واردہ بر صنعت چوب و کاغذ به خاطر جرایم زیست محیطی، در این تحقیق کارایی فرایند فتوکاتالیستی $UV/Fe\text{-Doped } TiO_2$ در تجزیه لیگنین و کاهش لیگنین از فاضلاب مصنوعی صنایع چوب و کاغذ در شرایط مختلف pH، غلظت نانو و زمان‌های مختلف مورد بررسی قرار گرفت.

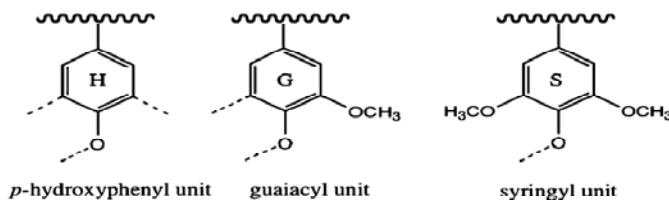
مواد و روش‌ها

این طرح در مقیاس آزمایشگاهی و در آزمایشگاه‌های دانشکده بهداشت دانشگاه علوم پزشکی مازندران بر روی پساب مصنوعی کارخانه چوب و کاغذ انجام شد (با توجه به ترکیب فاضلاب کارخانه چوب و کاغذ و مطالعات دیگران، فاضلاب مصنوعی مطابق جدول شماره ۱ ساخته شد).

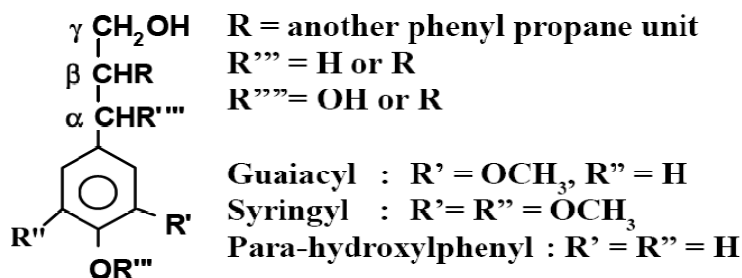
در این مطالعه، از راکتوری از جنس پیرکس با استفاده از یک بشر ۲ لیتری به قطر ۱۴ سانتی‌متر و ارتفاع ۱۸ سانتی‌متر استفاده شد. لامپ UV، ۱۲۵ وات فشار متوسط به طول ۶/۵ سانتی‌متر و قطر ۱ سانتی‌متر و پوشش کوارتزی به قطر خارجی ۲۶ میلی‌متر، قطر داخلی ۲۳ میلی‌متر و طول ۱۲/۵ سانتی‌متر در وسط درب راکتور که از جنس فویل آلومینیومی چند لایه است، نصب گردید. سوراخی نیز جهت نمونه برداری در درب راکتور تعییه شد که در هنگام فرایند با فویل پوشانده می‌شد. پیک طول موج منتشره از لامپ UV مورد استفاده در این مطالعه، ۲۴۷/۳ نانومتر و از نوع UV-C بود. اطراف راکتور شیشه‌ای جهت حفاظت در برابر اشعه لامپ



Corresponding structural units in lignin



تصویر شماره ۱: منومرهای اولیه لیکنین (ردیف بالا) و واحدهای ساختاری متناظر آن‌ها در لیکنین (۳۰)



تصویر شماره ۲: ساختار عمومی منومرهای لیکنین (۳۱)

اندازه گیری شدت لامپ UV

جهت اندازه گیری شدت لامپ UV، ۱۲۵ وات فشار متوسط مورد استفاده در راکتور از دستگاه رادیومتر هنگر مدل ECL-X مخصوص اندازه گیری شدت لامپ‌های محدوده تابشی UV-C استفاده شد. شدت لامپ در فاصله نصف قطر راکتور (حدود ۷ سانتی‌متری)، در زمان‌های مختلف کنترل و مورد اندازه گیری قرار گرفت.

فرمول محاسبه شدت اشعه:

$$D = L \times T$$

(s) = زمان

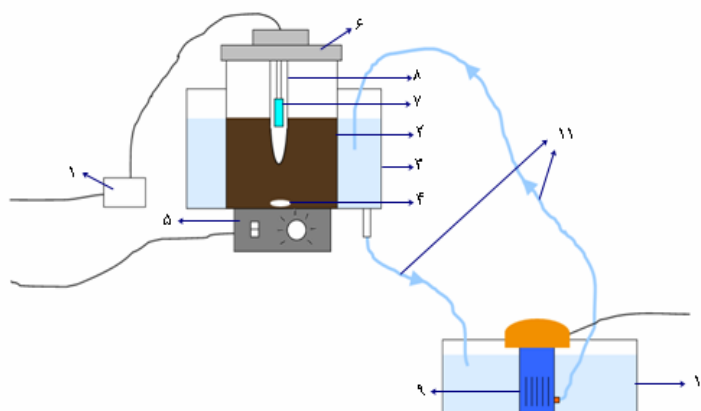
(mw/s/cm²) = شدت تابش

شدت اشعه لامپ مورد استفاده در این تحقیق بعد از ۱ دقیقه برابر ۲۰۰ وات بر سانتی‌متر مربع بود.

روش سنتز Fe Doped TiO₂

۱۹ میلی‌لیتر $\text{Ti(OCH}_3)_4$ را به آرامی به ۲۰ میلی‌لیتر اتانول اضافه می‌کنیم. سپس $\text{Fe(NO}_3)_3 \cdot 6\text{H}_2\text{O}$ را در ۵ میلی‌لیتر اتانول حل و به محلول اول اضافه می‌کنیم و ۹۰ دقیقه آن را تکان می‌دهیم و برای چند روز آن رانگه می‌داریم تا به صورت ژل در بیاید. سپس در ۱۰۰ درجه سانتی گراد به مدت ۶ ساعت در آون قرار می‌دهیم و در آخر به منظور آهکی کردن در ۴۰۰ درجه سانتی گراد، به مدت ۴ ساعت با سرعت گرم کردن ۲ °C/min قرار می‌دهیم (۲۰). مشخصات نانوذرات با استفاده از عکس SEM (Scanning electron microscope) مشخص می‌شود.

تصویر شماره ۳ راکتور مورد استفاده در این تحقیق را نشان می‌دهد.



تصویر شماره ۳: شماتیک راکتور مورد استفاده در فایند

- (۱) ترانس لامپ ۱۵۰ وات، (۲) راکور شیشه‌ای، (۳) مبرد آبی، (۴) مگنت، (۵) همزن مغناطیسی، (۶) درب راکتور، (۷) لامپ UV ۱۵۰ وات فشار متوسط، (۸) پوشش کوآرتز، (۹) پمپ، (۱۰) مخزن آب، (۱۱) لوله‌های انتقال آب.

استفاده از نانو در حضور UV نیز با سطح pH (۱۰، ۷ و ۳) و سطح زمان ماند (۱۵، ۳۰، ۶۰ و ۱۲۰ دقیقه) ۱۲ نمونه حاصل شد.

جدول شماره ۱: اجزا و خصوصیات فاضلاب مصنوعی
(همگی بر حسب mg/l به جز pH)

نام	ماده شیمیایی	غذای	نام	ماده شیمیایی	غذای
۰/۲۱۳	نیتریت	۵۰/۰۰۰	لیگنین		
۹/۸۸۰	آمونیوم ⁺ (NH _۴ ⁺)	۲۳/۰۰۰	نیتروژن کل		
۰/۵۳۵	فل	۰/۱۸۳	نیترات		
۲۵/۵۰۰	^b BOD	۰/۱۷۶	فسفات		
		۴۲۶/۰۰۰	COD (گلوکز) ^a		
		۸/۵۰۰	pH (متوسط)		

(a) گلوکز جهت رساندن COD به مقدار موردنظر (۴۲۶ میلی گرم در لیتر)

(b) BOD حاصل از گلوکز و دیگر مواد

COD: Chemical oxygen demand
BOD: Biochemical oxygen demand

یافته‌ها

نمودارهای شماره ۱ تا ۳ تجزیه فتوکاتالیستی لیگنین از فاضلاب مصنوعی صنعت چوب و کاغذ را در غذای‌های مختلف نانو (۰/۰۱۵، ۰/۰۲۰، ۰/۰۲۵ و ۰/۰۳۰ گرم)، pH (۱۰، ۷ و ۳) و زمان‌های مختلف (۱۵، ۳۰، ۶۰ و ۱۲۰ دقیقه) نشان می‌دهد، که در هر یک از نمودارها pH متغیر ثابت می‌باشد. همان‌طور که در این نمودارها مشاهده می‌شود، با افزایش غذای از ۰/۱۵ به ۰/۰۳۰ گرم در لیتر، درصد حذف افزایش می‌یابد.

آزمایش‌ها بر اساس روش توصیه شده در کتاب روش‌های استاندارد برای آزمایش‌های آب و فاضلاب انجام شد (۳۲). جذب UV/Vis (BioWaveII- Biochrom Ltd, Cambridge) (UV/Visible) در ۲۸۰ نانومتر صورت گرفت (۳۳). بخش جدانشدنی کربن (Total organic carbon) (TOC-L shimadzu, Japan) آلتی با استفاده از TOC (اندازه گیری شد).

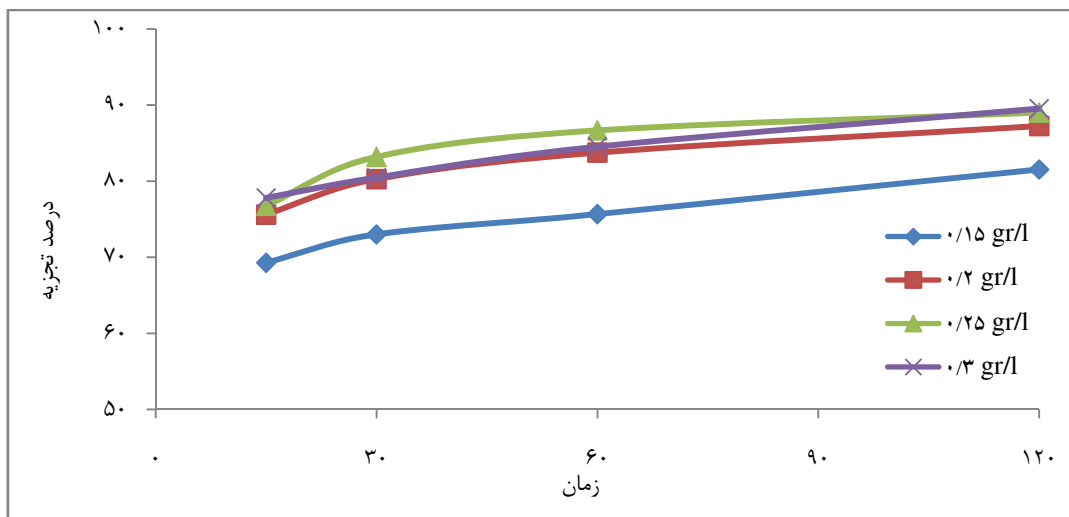
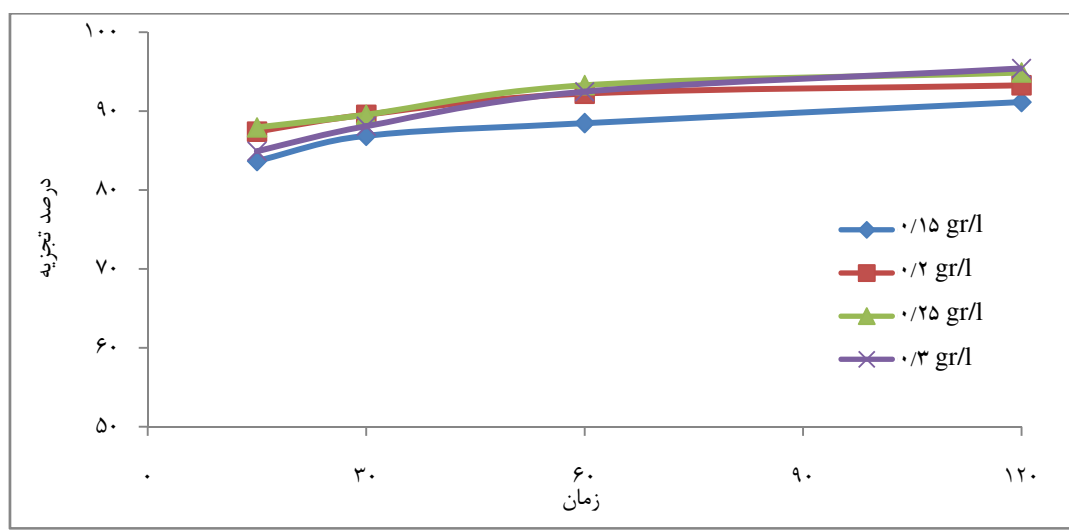
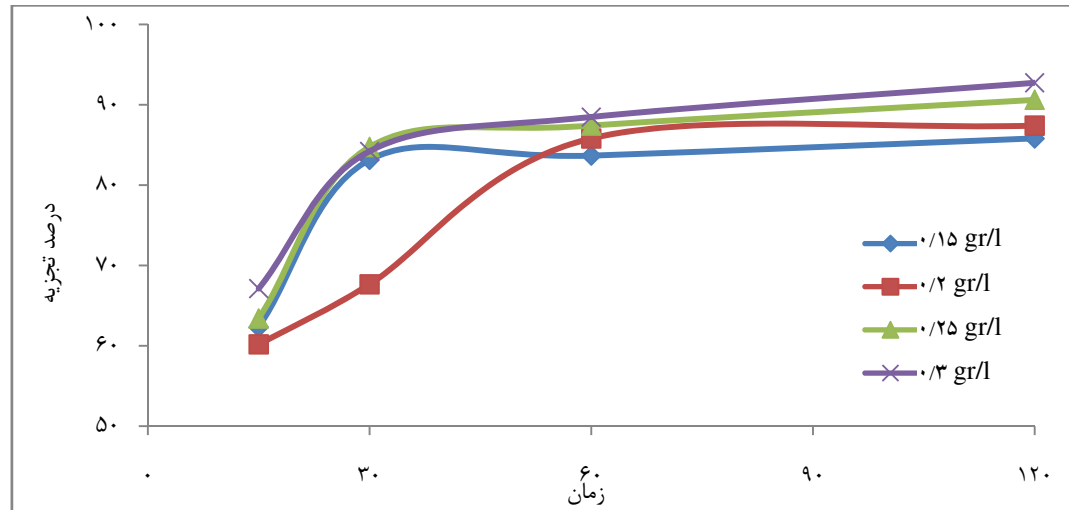
در صد تجزیه به صورت زیر محاسبه می‌شود:

$$100 \times \left(\frac{C_0 - C}{C_0} \right)$$

که C_0 غذای اولیه لیگنین و C غذای اولیه لیگنین بعد از پرتوتابی است.

جدول شماره ۱، ترکیب پساب فاضلاب یک صنعت چوب و کاغذ در غرب کشور ترکیه می‌باشد (۱۷).

برای ترسیم نمودارها و تجزیه تحلیل آماری نتایج از نرم‌افزارهای SPSS ۲۰۰۷ و Excel نسخه ۱۶ و آزمون برازش رگرسیونی استفاده شد. تعداد نمونه بر اساس روش فاکتوریل برآورد شد. با توجه به وجود ۳ سطح pH (۱۰، ۷ و ۳) و ۴ سطح زمان ماند (۱۵، ۳۰، ۶۰ و ۱۲۰ دقیقه) و ۴ سطح غذای TiO_2 (۰/۰۱۵، ۰/۰۲۰، ۰/۰۲۵ و ۰/۰۳۰ گرم)، تعداد ۴۸ نمونه در حضور UV به دست آمد. در حضور نور خورشید، با وجود لامپ UV به دست آمد. در حضور نور خورشید، با وجود TiO_2 (۰/۰۱۰، ۰/۰۱۰ و ۰/۰۱۰ گرم) تعداد ۱۲ نمونه بدون

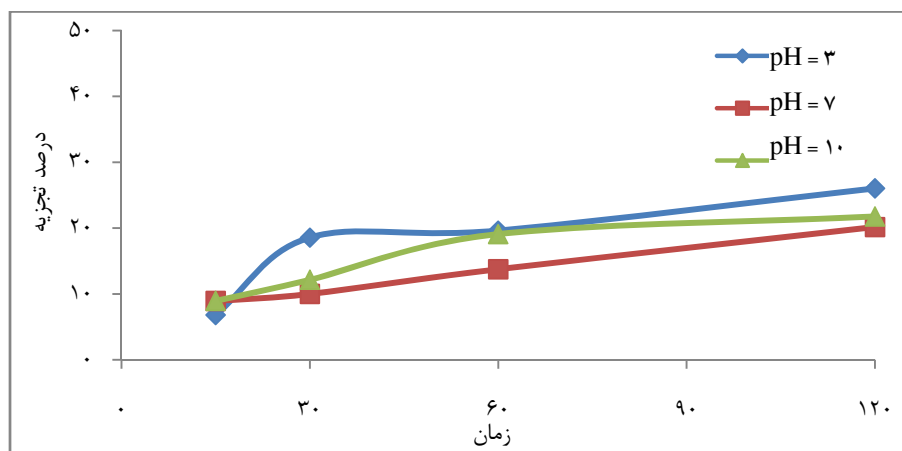
نمودار شماره ۱: تأثیر خلضت نانو ذره داپ شده روی تجزیه لیگنین به وسیله TiO₂ داپ شده با آهن در حضور UV (Ultra violet) و pH = ۱۰نمودار شماره ۲: تأثیر خلضت نانو ذره داپ شده روی تجزیه لیگنین به وسیله TiO₂ داپ شده با آهن در حضور UV (Ultra violet) و pH = ۷نمودار شماره ۳: تأثیر خلضت نانو ذره داپ شده روی تجزیه لیگنین به وسیله TiO₂ داپ شده با آهن در حضور UV (Ultra violet) و pH = ۳

تأثیر زیادی روی میزان تجزیه دارد و بیشترین میزان حذف مربوط به $pH = 7$ و غلظت $0/3$ میلی گرم در لیتر ($87/4$ درصد) می‌باشد. در $pH = 10$ در تابش نور خورشید (بر عکس زمان حضور UV) به دلیل این که تولید رادیکال هیدروکسیل در حدی نیست که با هم واکنش دهنده همدیگر را خنثی کنند، راندمان تجزیه در حد بالای قرار دارد؛ به طوری که $83/66$ درصد حذف مشاهده می‌شود.

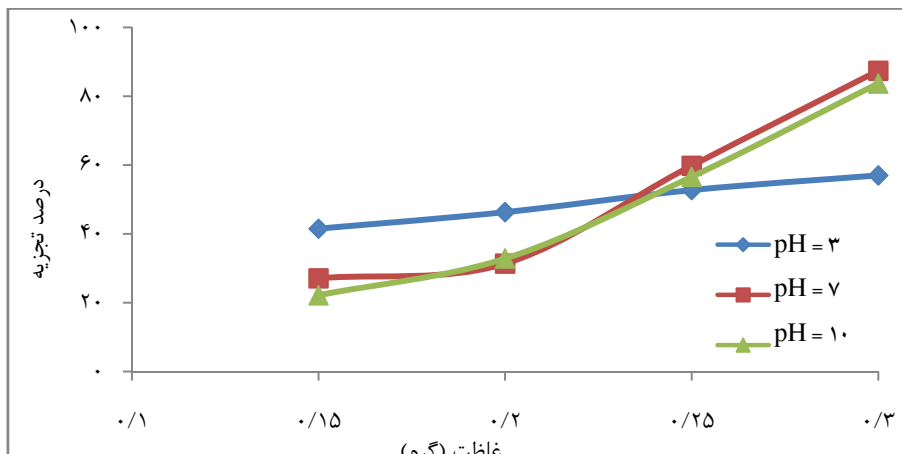
تأثیر pH روی میزان تجزیه لیگنین
همان‌طور که در نمودارهای شماره ۱ تا ۳ و ۶ مشاهده می‌شود، بهترین pH جهت تجزیه لیگنین 7 می‌باشد که در غلظت $0/3$ گرم در لیتر حذف $95/4$ درصدی دارد و کمترین حذف مربوط به $pH = 10$ می‌باشد.

تجزیه فتوکاتالیستی و فتولیزی لیگنین طبق نمودار شماره ۴ در حضور UV، نبود TiO_2 داپ شده، H ها (10 ، 7 و 3) و زمان‌های مختلف (15 ، 30 ، 60 و 120 دقیقه) درصد تجزیه بسیار پایین می‌باشد و بالاترین درصد حذف $26/02$ درصد در زمان ماند 120 دقیقه می‌باشد؛ در حالی که با اضافه نمودن نانو در pH مناسب، حذف $95/4$ درصدی (نمودار شماره ۲) مشاهده می‌شود.

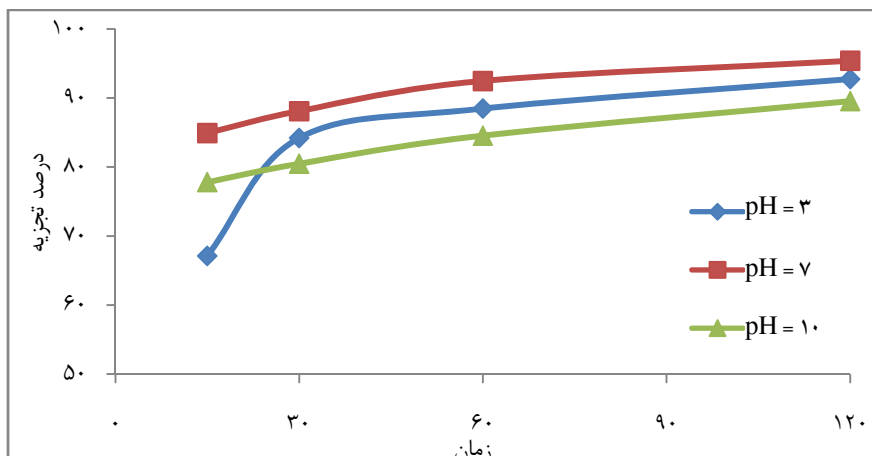
تجزیه در حضور نور خورشید همان‌طور که در نمودار شماره ۵ مشاهده می‌کنیم، غلظت نانو ذره، تأثیر زیادی روی میزان تجزیه در حضور نور خورشید دارد؛ به طوری که در غلظت‌های $0/25$ و $0/30$ گرم در لیتر به صورت خطی افزایش می‌یابد. طبق این نمودار، همچنین pH



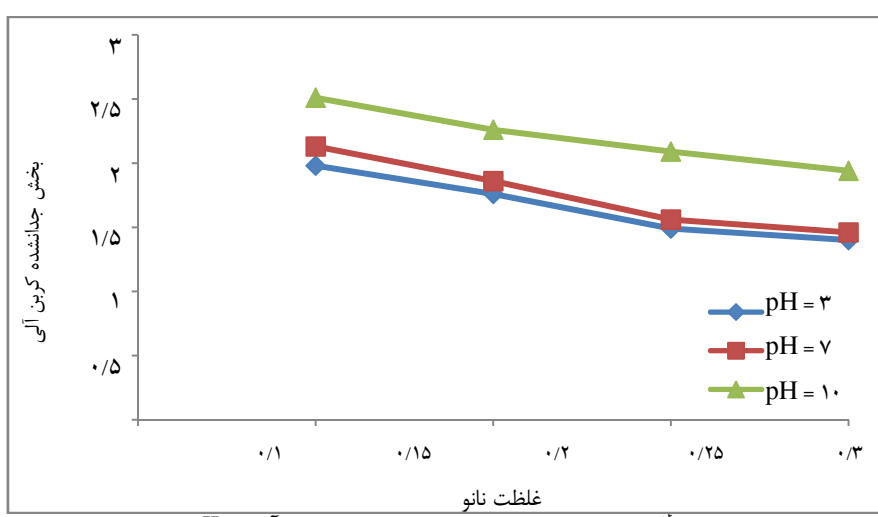
نمودار شماره ۴: تأثیر pH روی تجزیه لیگنین در حضور اشعه UV (Ultra violet) بدون نانو



نمودار شماره ۵: تجزیه لیگنین به وسیله TiO_2 داپ شده با آهن در حضور نور خورشید، H های مختلف و زمان ۴ ساعت



نمودار شماره ۶: تأثیر pH روی تجزیه لیکنین در غلظت ثابت ۰/۳۰ گرم در لیتر



نمودار شماره ۷: تأثیر غلظت نانوی مصرفی روی بخش جدانشده کربن آلی در pH های مختلف

که این شبیخ طبق با استفاده از معادله $y = mx + b$ صحت واکنش درجه اول بودن فرایند را نشان می دهد.
 $y = \ln C_t$ و $m = -k$, $x = t$, $b = \ln C_0$)

طبق جدول شماره ۲، ثابت سرعت واکنش (k) در حالتی که غلظت های مختلف نانوی داپ شده با آهن اضافه گردد، به طور قابل ملاحظه ای بالاتر از حالتی است که UV عمل تجزیه را انجام می دهد. همچنین با افزایش غلظت نانو سرعت واکنش افزایش پیدا می کند.

ثابت سرعت های به دست آمده از جدول شماره ۲ برای pH ها و غلظت های مختلف در نمودار شماره ۸ ترسیم شد که نشان می دهد سرعت تجزیه با افزایش غلظت افزایش می باشد. همچنین با کاهش pH سرعت واکنش افزایش می یابد.

بخش جدانشدنی کربن آلی در pH های ۳، ۷ و ۱۰ مربوط به غلظت های (۰/۱۵، ۰/۲۰، ۰/۲۵ و ۰/۳۰ گرم) در زمان ثابت ۶۰ دقیقه در نمودار شماره ۷ نشان داده شده است. کمترین مقدار باقیمانده مربوط به غلظت ۰/۳۰ گرم و pH برابر ۷ می باشد.

سینتیک های فرایند
سرعت تجزیه لیکنین و دیگر مواد آلی می تواند به صورت مدل سینتیک شبه درجه اول به صورت زیر بیان شود (۱۷).

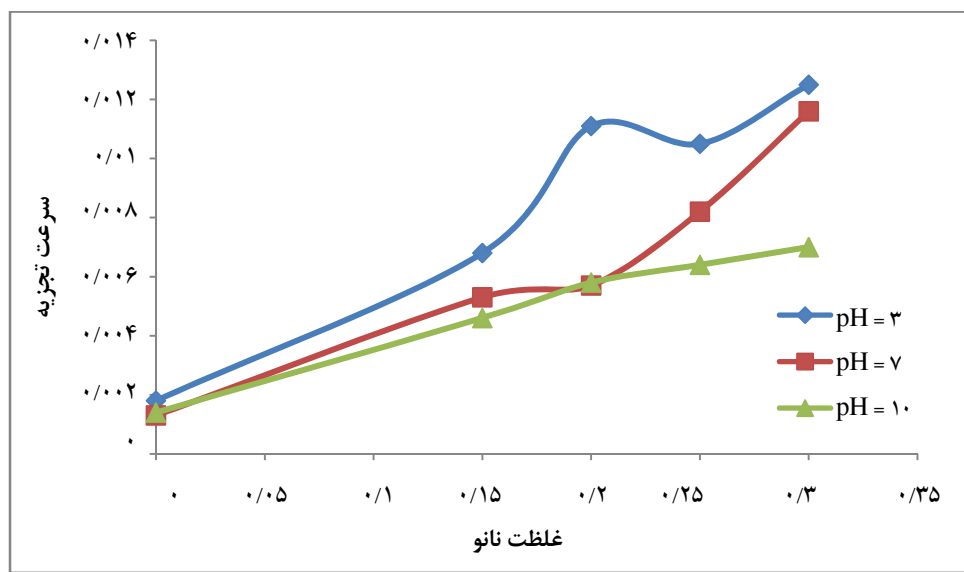
$$\text{معادله ۱: } \ln \frac{C_t}{C_0} = -kt$$

که در این فرمول C_0 ، غلظت در زمان صفر و C_t ، غلظت در زمان t بر حسب میلی گرم در لیتر می باشد. شبیخ نمودار $\ln C_t$ در مقابل زمان، مقدار ثابت سرعت (k) را به ما می دهد

جدول شماره ۲: پارامترهای k و R^* برای سیتیک‌های فرایند در حضور pH‌های مختلف در حضور UV (Ultra violet) (بعد از زمان ماند ۱۲۰ دقیقه (min^{-1}))

	۱۰	۷	۳	pH	غلظت	
R*	(min^{-1}) K	R*	(min^{-1}) K	R*	(min^{-1}) K	
۰/۹۸۶۹	۰/۰۰۴۶	۰/۹۴۲۴	۰/۰۰۵۳	۰/۵۱۵۹	۰/۰۰۶۸	۰/۱۵ (گرم در لیتر)
۰/۹۳۷۷	۰/۰۰۵۸	۰/۸۷۶۲	۰/۰۰۵۷	۰/۷۹۴	۰/۰۱۱۱	۰/۲۰ (گرم در لیتر)
۰/۸۴۷۲	۰/۰۰۶۴	۰/۹۲۸۴	۰/۰۰۸۲	۰/۶۹۰۲	۰/۰۱۰۵	۰/۲۵ (گرم در لیتر)
۰/۹۵۲۳	۰/۰۰۷۰	۰/۹۹۲۴	۰/۰۱۱۶	۰/۸۳۸۹	۰/۰۱۲۵	۰/۳۰ (گرم در لیتر)
۰/۸۷۳۳	۰/۰۰۱۴	۰/۹۹۷۴	۰/۰۰۱۳	۰/۷۷۷۲	۰/۰۰۱۸	UV بدون نانو

UV: Ultra violet



نمودار شماره ۸: تغییر سرعت تجزیه لیگنین در حضور UV (Ultra violet) و غلظت‌های مختلف نانوذره داپ شده

۱۵ و ۳۰ دقیقه با استفاده از TiO_2 داپ شده در حضور UV ۱۵ و ۳۰ دقیقه با استفاده از TiO_2 داپ شده در حضور UV می‌باشد که می‌تواند به علت یون فلزی Fe^{3+} باشد (۲۵) و موجب افزایش فعالیت فتوکاتالیست شود که نتایج بررسی Ma و همکاران نیز ثابت کرد که ذرات TiO_2 داپ شده با پلاتین واکنش جفت حفره الکترون-الکترون را سرعت می‌بخشد و بنابراین غلظت رادیکال‌های هیدروکسیل را روی سطح کاتالیست و تجزیه فتوکاتالیستی لیگنین را افزایش می‌دهند (۳۵). همان‌طور که در نمودار شماره ۵ نشان داده شده است، درصد حذف در ناحیه نور مرئی نیز افزایش می‌یابد و همچنین یون‌های Fe^{3+} می‌توانند در شبکه TiO_2 یک دام سطحی برای الکترون‌ها و حفرات به وجود آمده از تابش ایجاد نمایند و در نتیجه، با کاهش ترکیب مجدد الکترون‌ها و حفرات تولید شده، بازدهی کوانتاوی و فعالیت فتوکاتالیستی را افزایش دهند. در

بحث

طبق نمودارهای شماره ۱ تا ۳ در غلظت ۰/۱۵ گرم در لیتر میزان حذف کمتر و با افزایش غلظت و نزدیک شدن به غلظت ۰/۳۰ گرم در لیتر میزان حذف ثابت می‌شود. در مطالعه Chang و همکاران با استفاده از فرایند UV/ TiO_2 نیز با افزایش غلظت نانوی مورد استفاده، میزان حذف افزایش یافت (۳۶). در همه pH‌ها با افزایش زمان ماند از ۱۵ به ۱۲۰ دقیقه، درصد حذف افزایش یافت و بعد از ۶۰ دقیقه میزان حذف تا حدودی ثابت ماند. در مقایسه با دیگر تحقیقات مانند Kansal و همکاران (۵) و همچنین Karaoglu و Ugurlu (۷) روی حذف لیگنین با استفاده از روش نانوفتوکاتالیستی، در زمان‌های ماند پایین درصد حذف کمی داشتند؛ در حالی که نتایج این تحقیق نشان دهنده حذف بسیار بالای لیگنین در زمان‌های ماند

محیط قلیایی باشد. چون افزایش بیش از حد غلظت هیدروکسیل TiO₂ خود می‌تواند به عنوان مانعی در مقابل نفوذ نور بر سطح باشد. علاوه بر این، pH بالا باعث تشکیل یون‌های کربنات می‌شود که ریاننده مؤثر رادیکال‌های هیدروکسیل است و می‌تواند سرعت تجزیه را کاهش دهد (۳۷).

تجزیه فتوکاتالیستی لیگنین تحت شرایط واکنشی مختلف برای یافتن اثر pH، زمان‌های ماند و مقدار نانوی مصرفی مورد بررسی قرار گرفت. میزان حذف با افزایش زمان ماند و غلظت نانو افزایش نشان داد. تابش UV به تنها یکی در حذف لیگنین مؤثر نمی‌باشد. در حالی که اضافه کردن TiO₂ داپ شده با آهن به عنوان کاتالیست، کارایی تجزیه لیگنین را بالا برده؛ به طوری که میزان حذف در ناحیه نور مرئی و در حضور نور خورشید به طور قابل توجهی بالا بود که نشان دهنده نقش مؤثر داپ کردن نانو می‌باشد. همچنین با افزایش غلظت نانوی داپ شده، سرعت واکنش افزایش می‌یابد. بنابراین با توجه به نتایج این تحقیق، فرایند فتوکاتالیستی با استفاده از نانوی داپ شده به علت مقدار کم نانوی مصرفی، انرژی مصرفی پایین، سرعت واکنش بالا و راندمان بسیار بالا، می‌تواند به عنوان یک جایگزین مناسب برای حذف لیگنین از صنایع چوب و کاغذ مورد استفاده قرار گیرد.

References

- Mirshokraie SA, Abdulkhani A, Karimi A. Chemical structure elucidation of milled wood lignin and cellulolytic lignin from Poplar. *Iranian Journal of Wood and Paper Science Research* 2008; 23(2): 102-22. (Persian).
- Roushenasan J, Dehghani Firouzabadi M, Dahmarde Ghaleh No M, Sharifi S. Lignin dissolution at pulping process of wheat straw. *Iranian Journal of Wood and Paper Science Research* 2010; 25(2): 302-8. (Persian).
- Ugurlu M, Gurses A, Dogar C, Yalcin M. The removal of lignin and phenol from paper mill effluents by electrocoagulation. *J Environ Manage* 2008; 87(3): 420-8.
- Lanzalunga, Bietti M. Photo- and radiation chemical induced degradation of lignin model compounds. *J Photochem Photobiol B* 2000; 56(2-3): 85-108.
- Kansal SK, Singh M, Sud D. Studies on TiO₂/ZnO photocatalysed degradation of lignin. *J Hazard Mater* 2008; 153(1-2): 412-7.
- Lu F, Ralph J. The DFRC Method for Lignin Analysis. Part 3. NMR Studies. *Journal of Wood Chemistry and Technology* 1998; 18(2): 219-33.
- Ugurlu M, Gurses A, Yalcin M, Dogar C. Removal of Phenolic and Lignin Compounds from Bleached Kraft Mill Effluent by Fly Ash and Sepiolite. *Adsorption* 2005; 11(1): 87-97.
- Yeber MC, Rodriguez J, Freer J, Baeza J, Duran N, Mansilla HD. Advanced oxidation of a pulp mill bleaching wastewater. *Chemosphere* 1999; 39(10): 1679-88.
- Pokhrel D, Viraraghavan T. Treatment of pulp and paper mill wastewater--a review. *Sci Total Environ* 2004; 333(1-3): 37-58.
- Sumathi S, Hung YT. Treatment of pulp and paper mill wastes. In: Wang LK, Hung YT, Lo HH, Yapijkis C, Editors. *Waste Treatment in the Process Industries*. New York, NY: CRC Press; 2005. p. 453-97.
- Thompson G, Swain J, Kay M, Forster CF. The treatment of pulp and paper mill effluent: a review. *Bioresour Technol* 2001; 77(3): 275-86.
- Ghaly MY, Jamil TS, El-Seesy IE, Souaya ER, Nasr RA. Treatment of highly polluted paper mill

این تحقیق بیشترین میزان نانوی مورد استفاده ۰/۳۰ گرم در لیتر با راندمان ۹۵ درصد حذف بود؛ در حالی که در بررسی Chang و همکاران بیشترین راندمان نزدیک به ۸۵ درصد و مربوط به غلظت ۱۰ گرم در لیتر (۳۴) بود.

همچنین در مطالعه Kumar و همکاران (۲۹) و نیز Kansal و همکاران (۵) نانوی بیشتر و راندمان کمتر نسبت به بررسی حاضر مشاهده شد که علت آن داپ کردن نانو ذره می‌باشد. در بررسی Ma و همکاران نیز داپ کردن با پلاتین باعث کاهش نانوی مصرفی شد (۳۵).

مقایسه تأثیر pH روی تجزیه لیگنین در حضور اشعه UV بدون نانو (نمودار شماره ۴) با حالت دوم (در حضور نانو و تصاویر شماره ۱ تا ۳) نشان دهنده جذب ضعیف نور UV به وسیله لیگنین می‌باشد (۵). در حضور UV بیشترین مقدار حذف مربوط به pH = ۳ می‌باشد. در pH اسیدی، مقدار یون H⁺ دارد؛ که در مطالعه انجام شده توسط Guo و همکاران در سال ۲۰۰۶ نیز اثبات شد (۳۶).

طبق نمودار شماره ۶ کمترین حذف مربوط به pH = ۱۰ می‌باشد که دلیل آن می‌تواند بالا بودن غلظت هیدروکسیل در

- wastewater by solar photocatalytic oxidation with synthesized nano TiO₂. *Chemical Engineering Journal* 2011; 168(1): 446-54.
13. Akpan UG, Hameed BH. Parameters affecting the photocatalytic degradation of dyes using TiO₂-based photocatalysts: a review. *J Hazard Mater* 2009; 170(2-3): 520-9.
14. Yuan R, Guan R, Liu P, Zheng J. Photocatalytic treatment of wastewater from paper mill by TiO₂ loaded on activated carbon fibers. *Colloids and Surfaces A Physicochemical and Engineering Aspects* 2007; 293(1): 80-6.
15. Amat AM, Arques A, Lopez F, Miranda MA. Solar photo-catalysis to remove paper mill wastewater pollutants. *Solar Energy* 2005; 79(4): 393-401.
16. Kansal SK, Singh M, Sud D. Studies on photodegradation of two commercial dyes in aqueous phase using different photocatalysts. *J Hazard Mater* 2007; 141(3): 581-90.
17. Ugurlu M, Karaoglu MH. Removal of AOX, total nitrogen and chlorinated lignin from bleached Kraft mill effluents by UV oxidation in the presence of hydrogen peroxide utilizing TiO₂(2) as photocatalyst. *Environ Sci Pollut Res Int* 2009; 16(3): 265-73.
18. Guettaï N, Amar HA. Photocatalytic oxidation of methyl orange in presence of titanium dioxide in aqueous suspension. Part I: Parametric study. *Desalination* 2005; 185(1-3): 427-37.
19. Guettaï N, Amar HA. Photocatalytic oxidation of methyl orange in presence of titanium dioxide in aqueous suspension. Part II: kinetics study. *Desalination* 2005; 185(1-3): 439-48.
20. Mesgari Z, Gharagozlu M, Khosravi A, Gharanjig K. Spectrophotometric studies of visible light induced photocatalytic degradation of methyl orange using phthalocyanine-modified Fe-doped TiO₂ nanocrystals. *Spectrochim Acta A Mol Biomol Spectrosc* 2012; 92: 148-53.
21. Liu G, Zhang X, Xu Y, Niu X, Zheng L, Ding X. The preparation of Zn²⁺-doped TiO₂ nanoparticles by sol-gel and solid phase reaction methods respectively and their photocatalytic activities. *Chemosphere* 2005; 59(9): 1367-71.
22. Mekprasart W, Pecharapa W. Synthesis and Characterization of Nitrogen-Doped Tio₂ and Its Photocatalytic Activity Enhancement under Visible Light. *Energy Procedia* 2011; 9: 509-14.
23. Zhou M, Yu J, Cheng B. Effects of Fe-doping on the photocatalytic activity of mesoporous TiO₂ powders prepared by an ultrasonic method. *J Hazard Mater* 2006; 137(3): 1838-47.
24. Sun L, Li J, Wang CL, Li SF, Chena HB, Lin CJ. An electrochemical strategy of doping Fe³⁺ into TiO₂ nanotube array films for enhancement in photocatalytic activity. *Solar Energy Materials* and Solar Cells 2009; 93(10): 1875-80.
25. Zhu J, Zheng W, He B, Zhang J, Anpo M. Characterization of Fe-TiO₂ photocatalysts synthesized by hydrothermal method and their photocatalytic reactivity for photodegradation of XRG dye diluted in water. *Journal of Molecular Catalysis A: Chemical* 2004; 216(1): 35-43.
26. Liu S, Chen Y. Enhanced photocatalytic activity of TiO₂ powders doped by Fe unevenly. *Catalysis Communications* 2009; 10(6): 894-9.
27. Koichi K, Yuichi S, Shigeo N, Akira F. Photodecomposition of kraft lignin catalyzed by titanium dioxide. *Bulletin of the Chemical Society of Japan* 1989; 62(11): 3433-6.
28. Tanaka K, Calanag RC, Hisanaga T. Photocatalyzed degradation of lignin on TiO₂. *Journal of Molecular Catalysis A Chemical* 1999; 138(2): 287-94.
29. Kumar P, Kumar S, Bhardwaj NK, Choudhary AK. Advanced oxidation of pulp and paper industry effluent. *Proceedings of the 2011 International Conference on Environmental and Agriculture Engineering (ICEAE 2011)*; 2011 Jul 29-31; Chengdu, China; 2011.
30. Wong DW. Structure and action mechanism of ligninolytic enzymes. *Appl Biochem Biotechnol* 2009; 157(2): 174-209.
31. Christian V, Shrivastava R, Modi Ha, Vyas BR. Physiology and biochemistry of lignin degradation by white-rot fungi. *Journal of Tissue Research* 2004; 4(1): 165-78.
32. Eaton AD, Franson MA, American Public Health Association. *Standard Methods for the Examination of Water & Wastewater*. Washington, DC: American Public Health Association; 2005.
33. Lara MA, Rodriguez-Malaver AJ, Rojas OJ, Holmquist O, Gonzalez AM, Bullon J, et al. Blackliquor lignin biodegradation by *Trametes elegans*. *International Biodeterioration & Biodegradation* 2003; 52: 167-73.
34. Chang CN, Ma YS, Fang GC, Chao AC, Tsai MC, Sung HF. Decolorizing of lignin wastewater using the photochemical UV/TiO₂ process. *Chemosphere* 2004; 56(10): 1011-7.
35. Ma YS, Chang CN, Chiang YP, Sung HF, Chao AC. Photocatalytic degradation of lignin using Pt/TiO₂ as the catalyst. *Chemosphere* 2008; 71(5): 998-1004.
36. Guo Z, Ma R, Li G. Degradation of phenol by nanomaterial TiO₂ in wastewater. *Chemical Engineering Journal* 2006; 119(1): 55-9.
37. Kashif N, Ouyang F. Parameters effect on heterogeneous photocatalysed degradation of phenol in aqueous dispersion of TiO₂. *J Environ Sci (China)* 2009; 21(4): 527-33.